

琉球大学理工学部 正員 上原方成

1. まえがき 土の締固め試験結果に影響をあらわす因子として、モールドの形状寸法、試料の準備、締固め方法、土の種類性状および体積・含水比の計測のしかた等があげられる。一方、実験室の試験結果と実際の施工機械の締固め効果との相関性など解決すべき問題点残されてい。本報告は、締固め方式のちがいによる、沖縄の代表的土の締固め特性を比較し、あわせて土の締固め機構を検討しようとするものである。

## 2. 試料および締固め方法

試料 性質 生成 時期	コーラルリー フロッカ① 第三紀後期	島尾層中泥岩 土② 第三紀中期	島尾層中砂岩 土③ 第三紀中期	国頭レキ層土 ④ 第四紀洪積期
比重 $\gamma_{\text{water}}$	2.714	2.728	2.688	2.673
液性限界 (%)	21.76	59.60	不能	37.87
塑性限界 (%)	不能	22.57	不能	26.71
收缩限界 (%)	19.46	20.37	—	23.80

表-1 土の物理的性質

区分 試料	粘土分 $<0.005 \text{ mm}$	シルト分 $0.074 \sim 0.005 \text{ mm}$	砂分 $4.76 \sim 0.074 \text{ mm}$	日本統一土質 分類基準(MTS)
①コーラル	17.5 %	22.2 %	60.3 %	シルト質砂 CH
②泥岩土	27.1 "	47.7 "	25.2 "	粘土質シルト CH
③砂岩土	10.0 "	39.1 "	50.9 "	砂質シルト SM
④レキ層土	32.8 "	26.2 "	41.0 "	粘土質シルト CL

表-2 土の粒度組成

	モールド	エネルギー	備考
衝撃的荷重 JIS-I-1	10 cm 内溝 5 cm 内溝 半動的荷重 ハーバードミニ	3層25回 1層2トン 3.36 cm 内溝 7.14 cm 高さ 20 lbs.	JIS (土質工学会) 準拠 動ジャッキ Max. 2 Ton 1分間保持 後計荷重実測 ASTM Suggested Method. Manual Kneading Type.
静的荷重	13.9 cm 高さ		

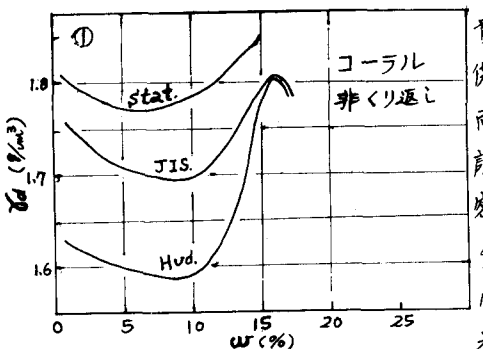
表-3 締固め方式

試料土①は全試料となると、GF に相当し、最大粒径は 50.8 mm である。試料土②は、堅硬な土塊を木づちで粉碎して準備した。試料土③、④は、気乾状態で 5.0 m 型にはいる。

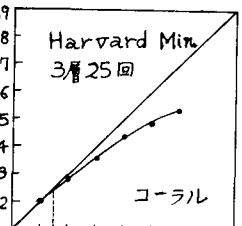
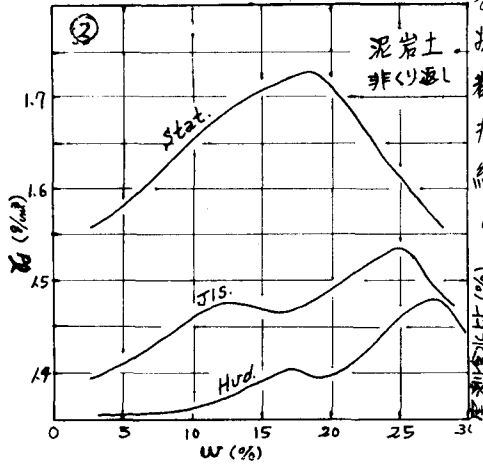
締固め方法は、三方とも、乾燥法、くり返し法および非くり返し法を採用し、試料の許容最大粒径はすべて 4.760 m とした。

3. 試験結果および検討 締固め試験結果の一節を図-1 に示す。これらから、土の種類によって三締固め方式に対する反応のしかたがわかる。JIS 実験結果では各土とも、典型的な山型曲線を描いており、レキ層土①と他三者とは低含水比における運動が異なっている。太平沙<sup>1)</sup>は火山レキの実験結果で同様な曲線を得ており、最小乾燥密度、危険

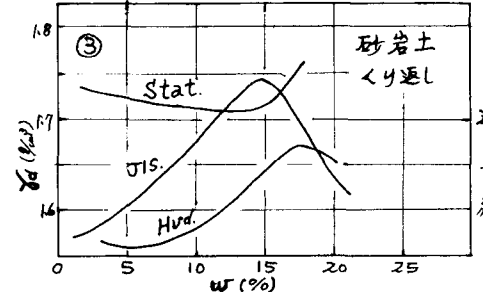
含水比有理説を示すが、その意義をよりためて検討する必要がある。一方、CH 泥岩土のそれは、R.E. Olson<sup>2)</sup>が示した「ライト粘土 (kneading compaction)」の高エネルギー締固め曲線と类似している。ところで、締固めメカニズムについては、Proctor, Hogentgher, Lambé の理論があり、また、Olson<sup>2)</sup>の有効応力理論では分子子のメニスカス形成と有効応力の関係を強調している。松尾ら<sup>3)</sup>は、静的に締固めた砂質土についてコーン貫入試験曲線によって締固めメカニズムを説明している。コーン



貫入テストについては、筆者も動的に実を固めたコラル供試体で貫入抵抗-含水比、その時の乾燥密度-含水比の両曲線を対応させてほど同様な結果を得てあり、これらの説を今後追求してゆきたい。静的締固めは、いかゆる圧密圧縮であるので、排水性の良好なレキ、砂質土では小型の曲線を示さない。本方式の結果では、JIS方式とは逆に、CH泥岩土と他三者とは低含水比および最高含水比での拳動は異なっている。半動的締固め試験は、現場の締固め状況がよく再現されるといわれるので、実験操作の差で好都合である。本方式では二種ずつテストから3層25回を採用したが、各土ともJIS実験方式と似てほんの小型の曲線を表示するが、拳動については静的締固め方式と同様にCH泥岩土と他三者に区別できる。静的、半動的締固め試験では、高含水比になると上下面からの排水が顕著にならうと計算上の含水比(給水量)または締固め前含水比と供試体含水比との関係(図-2)を知っておくと。



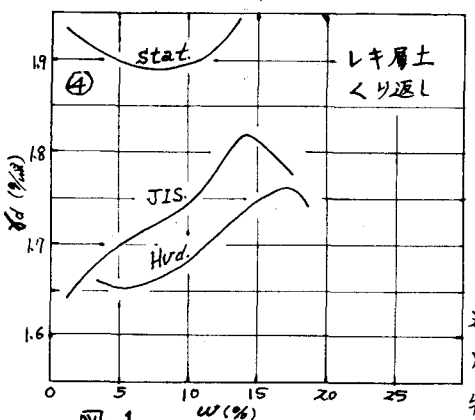
現場で後にたつであろう。なお、  
図-2. 締固め歩後の\$w\$ 締固め過程で、くり返し、非くり返しによる締固め効果のちみつについて、コラルと泥岩土とを比較したのが表-4で、各方式と同様の曲線を曲線表示え得られていふ。



方式	試料	くり返し	非くり返し
JIS	コラル	14.8%	1.865
	泥岩土	25.3%	1.535
Static	コラル	13.7%	1.882
	泥岩土	18.4%	1.744
Harvard	コラル	13.8%	1.853
	泥岩土	27.7%	1.488

表-4 最適含水比、最大乾燥密度比較

4. あとかき 土の種類性状と締固め方法とを検討してみると、現行JIS実験方式灰土によつては、必ずしも適当とはいえない、締固め様式と締固めメカニズムを関連させて研究をすすめた。また、締固めた土の力学的特性については実験進行中を、後日報告したい。



参考文献 1) 大平、小山、室永火山礫の実験特性について(昭40) 2) 松尾、末、中村; 締固め試験値とコンクリートの強度に関する研究(昭46)  
3) R.E. Olsson; Effective Stress Theory of Soil Compaction (1963)